

## ИССЛЕДОВАНИЕ УСТОЙЧИВОСТИ И ЗАКРИТИЧЕСКОГО ПОВЕДЕНИЯ АНИЗОТРОПНЫХ ПЛАСТИН ПРИ СДВИГЕ

Рассматривается устойчивость и несущая способность однородных анизотропных шарнирно опертых пластин при сдвиге. Решение осуществляется в перемещениях на основе уравнений типа Кармана при прогибе, представленном в виде двойного тригонометрического ряда. Исследование изменения полной потенциальной энергии вблизи точки бифуркации и минимизация по коэффициентам разложения позволило получить систему алгебраических уравнений, из которых определяются собственные значения и собственные функции. Собственная функция, соответствующая минимальному собственному значению, нормализуется и используется в качестве аппроксимирующей функции в задаче о закритическом деформировании. На основе принципа Лагранжа находится зависимость между действующими усилиями сдвига и амплитудой закритического прогиба. Численно исследовано влияние структурных параметров на критические нагрузки и закритическую прочность углепластиковых пластин.

1. Рассмотрим композитную прямоугольную шарнирно опертую по всем сторонам композитную пластину, нагруженную усилиями сдвига  $S$  (фиг. 1). Пластина армирована под углом  $\varphi$  по отношению к оси  $x$ . Запишем исходные соотношения

$$N_{x,x} + N_{xy,y} = 0, N_{y,y} + N_{xy,x} = 0 \quad (1.1)$$

$$M_{x,xx} + 2M_{xy,xy} + M_{y,yy} + S\kappa_{xy} = 0 \quad (1.2)$$

$$N_x = C_{11}e_x + C_{12}e_y + C_{13}e_{xy}, \quad N_y = C_{21}e_x + C_{22}e_y + C_{23}e_{xy} \quad (1.3)$$

$$N_{xx} = C_{31}e_x + C_{32}e_y + C_{33}e_{xy}, \quad M_x = D_{11}\kappa_x + D_{12}\kappa_y + D_{13}\kappa_{xy}$$

$$M_y = D_{21}\kappa_x + D_{22}\kappa_y + D_{23}\kappa_{xy}, \quad M_{xy} = D_{31}\kappa_x + D_{32}\kappa_y + D_{33}\kappa_{xy}$$

$$\epsilon_x = \varepsilon_x + z\kappa_x, \quad \epsilon_y = \varepsilon_y + z\kappa_y, \quad \epsilon_{xy} = \varepsilon_{xy} + z\kappa_{xy} \quad (1.4)$$

$$\varepsilon_x = u_{,x} + 1/2 w_{,x}^2, \quad \varepsilon_y = v_{,y} + 1/2 w_{,y}^2, \quad \varepsilon_{xy} = u_{,y} + v_{,x} + w_{,x} + w_{,y}, \quad \kappa_x = -w_{,xx}$$

$$\kappa_y = -w_{,yy}, \quad \kappa_{xy} = -2w_{,xy}$$

$$C_{mn} = C_{nm} = B_{mn}h \quad (mn = 11, 12, 22, 13, 23, 33), \quad D_{mn} = D_{nm} = B_{mn}h^3/12$$

$$B_{11} = \bar{E}_1 \cos^4 \varphi + \bar{E}_2 \sin^4 \varphi + 2E_{12} \sin^2 \varphi \cos^2 \varphi$$

$$B_{12} = \bar{E}_1 \mu_{12} + (\bar{E}_1 + \bar{E}_2 - 2E_{12}) \sin^2 \varphi \cos^2 \varphi$$

$$B_{13} = \sin \varphi \cos \varphi (\bar{E}_1 \cos^2 \varphi - \bar{E}_2 \sin^2 \varphi - E_{12} \cos 2\varphi)$$

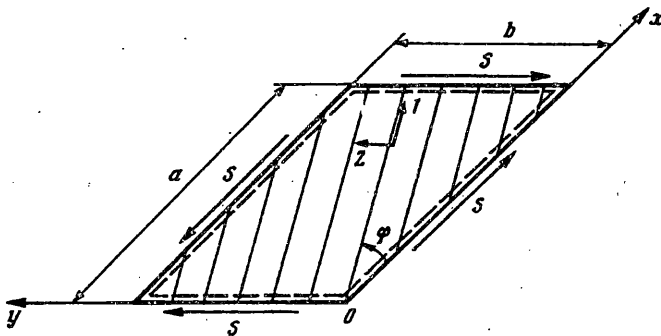
$$B_{22} = \bar{E}_1 \sin^4 \varphi + \bar{E}_2 \cos^4 \varphi + 2E_{12} \sin^2 \varphi \cos^2 \varphi$$

$$B_{23} = \sin \varphi \cos \varphi (\bar{E}_1 \sin^2 \varphi - \bar{E}_2 \cos \varphi + E_{12} \cos 2\varphi)$$

$$B_{33} = (\bar{E}_1 + \bar{E}_2 - 2\bar{E}_1 \mu_{12}) \sin^2 \varphi \cos^2 \varphi + G_{12} \cos 2\varphi$$

$$\bar{E}_{1,2} = \frac{E_{1,2}}{(1 - \mu_{12}\mu_{21})}, \quad \mu_{12}E_1 = \mu_{21}E_2, \quad E_{12} = \bar{E}_1 \mu_{12} + 2G_{12}$$

Здесь  $C_{mn}$  — мембранные жесткости,  $D_{mn}$  — изгибные жесткости,  $h$  — толщина пластины,  $B_{mn}$  — обобщенные жесткости в координатах 1,2 (фиг. 1),  $E_1, E_2$  —



Фиг. 1

модули упругости при нагружении вдоль и поперек волокон,  $G_{12}$  — модуль сдвига,  $\mu_{12}$ ,  $\mu_{21}$  — коэффициенты Пуассона. Полная потенциальная энергия пластины

$$\begin{aligned} \Pi = & \frac{1}{2} \int_0^a \int_0^b (N_x e_x + N_y e_y + N_{xy} e_{xy} + M_x x_x + M_y x_y + M_{xy} x_{xy}) dx dy - \\ & - S \int_0^a \int_0^b (u_{,y} + v_{,x}) dx dy \end{aligned} \quad (1.5)$$

Для оценки прочности возникающие в пластине усилия и деформации необходимо связать с напряжениями и деформациями в координатах 1,2. Выразим деформации  $e_1$ ,  $e_2$ ,  $e_{12}$  через деформации  $e_x$ ,  $e_y$ ,  $e_{xy}$  [1]:

$$\begin{aligned} e_1 &= e_x \cos^2 \varphi + e_y \sin^2 \varphi + e_{xy} \sin \varphi \cos \varphi \\ e_2 &= e_x \sin^2 \varphi + e_y \cos^2 \varphi - e_{xy} \sin \varphi \cos \varphi \\ e_{12} &= (e_y - e_x) \sin 2\varphi + e_{xy} \cos 2\varphi \end{aligned}$$

По известным  $e_1$ ,  $e_2$ ,  $e_{12}$  остается найти напряжения  $\sigma_1 = \bar{E}_1(e_1 + \mu_{12}e_2)$ ,  $\sigma_2 = \bar{E}_2(e_2 + \mu_{21}e_1)$ ,  $\tau_{12} = G_{12}e_{12}$  и сравнить их с разрушающими напряжениями  $\bar{\sigma}_1$ ,  $\bar{\sigma}_2$ ,  $\bar{\tau}_{12}$  с помощью выбранного критерия прочности. При анализе несущей способности пластины после потери устойчивости будет использован следующий критерий прочности:

$$\sigma_*^2 = \left( \frac{\sigma_1}{\bar{\sigma}_1} \right)^2 - \frac{\sigma_1 \sigma_2}{\bar{\sigma}_1 \bar{\sigma}_2} + \left( \frac{\sigma_2}{\bar{\sigma}_2} \right)^2 + \left( \frac{\tau_{12}}{\bar{\tau}_{12}} \right)^2 \leq 1 \quad (1.6)$$

2. Представим прогиб пластины в виде двойного тригонометрического ряда

$$w = \sum_{m=1}^{\infty} \sum_{n=1}^{\infty} A_{mn} \sin \lambda_m x \sin \lambda_n y, \quad \lambda_m = \frac{m\pi}{a}, \quad \lambda_n = \frac{n\pi}{b} \quad (2.1)$$

Найдем из первых двух уравнений равновесия (1.1), записанных в перемещениях с учетом (2.1), перемещения срединной поверхности

$$u = C_1 x + C_2 y + \frac{1}{16} \sum_{m=1}^{\infty} \sum_{n=1}^{\infty} A_{mn} (A_{mn} \bar{u}_1 + 2 \sum_l^{\infty} \sum_j^{\infty} A_{lj} \bar{u}_2) \quad (2.2)$$

$$v = C_3 x + C_4 y + \frac{1}{16} \sum_{m=1}^{\infty} \sum_{n=1}^{\infty} A_{mn} (A_{mn} \bar{v}_1 + 2 \sum_l^{\infty} \sum_j^{\infty} A_{lj} \bar{v}_2)$$

$$\bar{u}_1 = \lambda_m \left( -1 + \frac{\lambda_n^2}{\lambda_m^2} \frac{C_{12}C_{33} - C_{13}C_{23}}{C_{11}C_{33} - C_{13}^2} \right) \sin 2\lambda_m x + \frac{\lambda_m^2}{\lambda_n} \frac{C_{22}C_{13} - C_{12}C_{23}}{C_{22}C_{33} - C_{23}^2} \sin 2\lambda_n y +$$

$$+ \lambda_m r_1 \sin 2\lambda_m x \cos 2\lambda_n y + \lambda_n r_2 \cos 2\lambda_m x \sin 2\lambda_n y$$

$$\bar{u}_2 = \lambda_m (r_3 f_3 f_3 + r_3 f_4 f_4 + r_4 f_3 f_4 + r_9 f_3 f_3) + \lambda_n (r_4 f_7 f_7 + r_6 f_3 f_8 + r_8 f_7 f_8 + r_{10} f_2 f_7)$$

$$\begin{aligned}
\bar{v}_1 &= \frac{\lambda_m^2}{\lambda_n} \left( \frac{C_{11}C_{23} - C_{12}C_{13}}{C_{11}C_{33} - C_{13}^2} \right) \sin 2\lambda_m x + \lambda_n \left( -1 + \frac{\lambda_m^2}{\lambda_n^2} \frac{C_{12}C_{33} - C_{13}C_{23}}{C_{22}C_{33} - C_{23}^2} \right) \sin 2\lambda_n y + \\
&+ \lambda_m r_{11} \cos 2\lambda_m x \sin 2\lambda_n y + \lambda_n r_{12} \sin 2\lambda_m x \cos 2\lambda_n y \\
\bar{v}_2 &= \lambda_m (r_{13}f_7 + r_{15}f_8 + r_{17}f_9 + r_{19}f_{10}) + \lambda_n (r_{14}f_3 + r_{16}f_6 + r_{18}f_5 + r_{20}f_4) \\
f_1 &= \cos (\lambda_m - \lambda_n) x, \quad f_2 = \cos (\lambda_m + \lambda_n) x, \quad f_3 = \cos (\lambda_n - \lambda_m) y \\
f_4 &= \cos (\lambda_n + \lambda_m) y, \quad f_5 = \sin (\lambda_m - \lambda_n) x, \quad f_6 = \sin (\lambda_m + \lambda_n) x \\
f_7 &= \sin (\lambda_n - \lambda_m) y, \quad f_8 = \sin (\lambda_n + \lambda_m) y.
\end{aligned}$$

Здесь  $i, j$  — числа полуволн ( $i \neq m, j \neq n$ ),  $r_1, r_2, \dots, r_{20}$  образуют группы взаимосвязанных коэффициентов:  $\{R_1\} = \{r_1, r_2, r_{11}, r_{12}\}^T$ ,  $\{R_2\} = \{r_3, r_4, r_{13}, r_{14}\}^T$ ,  $\{R_3\} = \{r_5, r_6, r_{15}, r_{16}\}^T$ ,  $\{R_4\} = \{r_7, r_8, r_{17}, r_{18}\}^T$ ,  $\{R_5\} = \{r_9, r_{10}, r_{19}, r_{20}\}^T$ . Они находятся из систем линейных алгебраических уравнений 4-й степени  $[L]\{R\} = \{B\}$ , где  $L$  — квадратная матрица  $4 \times 4$ ,  $B$  — вектор-столбец правых частей. Элементы  $L$  и  $B$  для коэффициентов  $\{R_i\}$  равны

$$L = \begin{vmatrix} C_{11}\lambda_m^2 + C_{33}\lambda_n^2 & 2C_{13}\lambda_n^2 & (C_{12} + C_{33})\lambda_m\lambda_n & (C_{13}\lambda_m^2 + C_{23}\lambda_n^2)\lambda_n/\lambda_m \\ 2C_{13}\lambda_m^2 & C_{11}\lambda_m^2 + C_{33}\lambda_n^2 & (C_{13}\lambda_m^2 + C_{23}\lambda_n^2)\lambda_m/\lambda_n & (C_{12} + C_{33})\lambda_m\lambda_n \\ C_{13}\lambda_m^2 + C_{23}\lambda_n^2 & (C_{12} + C_{33})\lambda_n^2 & 2C_{23}\lambda_m\lambda_n & (C_{33}\lambda_m^2 + C_{22}\lambda_n^2)\lambda_n/\lambda_m \\ (C_{12} + C_{33})\lambda_m^2 & C_{13}\lambda_m^2 + C_{23}\lambda_n^2 & (C_{33}\lambda_m^2 + C_{22}\lambda_n^2)\lambda_m/\lambda_n & 2C_{23}\lambda_m\lambda_n \end{vmatrix}$$

$$B = \{ [C_{11}\lambda_m^2 + (C_{12} + 2C_{33})\lambda_n^2], (3C_{13}\lambda_m^2 + C_{23}\lambda_n^2), (C_{13}\lambda_m^2 + 3C_{23}\lambda_n^2), [(C_{12} + 2C_{33})\lambda_m^2 + C_{22}\lambda_n^2] \}^T$$

Для групп  $\{R_2\} — \{R_5\}$  элементы матрицы  $L$  и вектора  $B$  равны

$$L = \begin{vmatrix} C_{11}T_1^2 + C_{33}T_2^2 & 2C_{13}T_1T_2\lambda_n/\lambda_m & (C_{12} + C_{33})T_1T_2 & (C_{13}T_1^2 + C_{23}T_2^2)\lambda_n/\lambda_m \\ 2C_{13}T_1T_2 & (C_{11}T_1^2 + C_{33}T_2^2)\lambda_n/\lambda_m & C_{13}T_1^2 + C_{23}T_2^2 & (C_{12} + C_{33})T_1T_2\lambda_n/\lambda_m \\ C_{13}T_1^2 + C_{23}T_2^2 & (C_{12} + C_{33})T_1T_2\lambda_n/\lambda_m & 2C_{23}T_1T_2 & (C_{33}T_1^2 + C_{22}T_2^2)\lambda_n/\lambda_m \\ (C_{12} + C_{33})T_1T_2 & (C_{13}T_1^2 + C_{23}T_2^2)\lambda_n/\lambda_m & C_{33}T_1^2 + C_{22}T_2^2 & 2C_{23}T_1T_2\lambda_n/\lambda_m \end{vmatrix}$$

$$B = \left\{ \begin{array}{l} (C_{11}\lambda_1\delta_1 + C_{12}\lambda_n\lambda_2\delta_2/\lambda_m) T_1 + 2C_{33}\lambda_1T_2\delta_2 \\ 2C_{13}\lambda_1T_1\delta_2 + (C_{13}\lambda_1\delta_1 + C_{23}\lambda_n\lambda_2\delta_2/\lambda_m) T_2 \\ (C_{13}\lambda_1\delta_1 + C_{23}\lambda_n\lambda_2\delta_2/\lambda_m) T_1 + 2C_{23}\lambda_1T_2\delta_2 \\ 2C_{33}\lambda_1T_1\delta_2 + (C_{22}\lambda_1\delta_1/\lambda_m + C_{12}\lambda_2\delta_2) T_2 \end{array} \right\}$$

где  $T_1, T_2, \delta_1, \delta_2$  принимают следующие значения: для  $\{R_2\}$   $T_1 = \lambda_m - \lambda_n, T_2 = \lambda_n - \lambda_m, \delta_1 = \delta_2 = 1$ ; для  $\{R_3\} T_1 = \lambda_m + \lambda_n, T_2 = \lambda_n + \lambda_m, \delta_1 = \delta_2 = -1$ ; для  $\{R_4\} T_1 = \lambda_m - \lambda_n, T_2 = \lambda_n + \lambda_m, \delta_1 = -1, \delta_2 = 1$ ; для  $\{R_5\} T_1 = \lambda_m + \lambda_n, T_2 = \lambda_n - \lambda_m, \delta_1 = 1, \delta_2 = -1$ . Постоянные  $C_1, C_2, C_3, C_4$  найдем из статических граничных условий

$$\int_0^a N_{xy} dx = Sa, \quad \int_0^a N_x dy = 0, \quad \text{при } x = 0, a$$

$$\int_0^b N_{xy} dy = Sb, \quad \int_0^a N_y dx = 0, \quad \text{при } y = 0, b$$

После подстановки усилий, выраженных через перемещения (2.1) и (2.2), и интегрирования получим

$$C_1 = -(C_{13}C_{22} - C_{12}C_{23}) S/C - \sum_m^{\infty} \sum_n^{\infty} A_{mn}^2 \lambda_m^2 / 8$$

$$C_2 = C_3 = \frac{1}{2C} (C_{11}C_{22} - C_{12}^2) S, \quad C_4 = -\frac{1}{C} (C_{23}C_{11} - C_{12}C_{13}) S - \frac{1}{8} \sum_m^{\infty} \sum_n^{\infty} A_{mn}^2 \lambda_n^2$$

$$C = C_{33} (C_{11}C_{22} - C_{12}^2) + 2.C_{12}C_{13}C_{23} - C_{11}C_{23}^2 - C_{22}C_{13}^2$$

С учетом последних равенств определим деформации, усилия и моменты в пластине при сдвиге

$$\begin{aligned}\varepsilon_x &= \frac{S}{C} (C_{12}C_{23} - C_{13}C_{22}) + \frac{1}{8} \sum_m^{\infty} \sum_n^{\infty} A_{mn} (A_{mn} \bar{\varepsilon}_x^{(1)} + \sum_u^{\infty} \sum_j^{\infty} A_{uj} \bar{\varepsilon}_x^{(2)}) \\ \varepsilon_y &= \frac{S}{C} (C_{12}C_{13} - C_{11}C_{23}) + \frac{1}{8} \sum_m^{\infty} \sum_n^{\infty} A_{mn} (A_{mn} \bar{\varepsilon}_y^{(1)} + \sum_l^{\infty} \sum_j^{\infty} A_{lj} \bar{\varepsilon}_y^{(2)}) \\ \varepsilon_{xy} &= \frac{S}{C} (C_{11}C_{22} - C_{12}^2) + \frac{1}{8} \sum_m^{\infty} \sum_n^{\infty} A_{mn} (A_{mn} \bar{\varepsilon}_{xy}^{(1)} + \sum_l^{\infty} \sum_j^{\infty} A_{lj} \bar{\varepsilon}_{xy}^{(2)})\end{aligned}\quad (2.3)$$

$$\begin{aligned}N_x &= \frac{1}{8} \sum_m^{\infty} \sum_n^{\infty} A_{mn} [A_{mn} (C_{11} \bar{\varepsilon}_x^{(1)} + C_{12} \bar{\varepsilon}_y^{(1)} + C_{13} \bar{\varepsilon}_{xy}^{(1)}) + \sum_l^{\infty} \sum_j^{\infty} A_{lj} (C_{11} \bar{\varepsilon}_x^{(2)} + C_{12} \bar{\varepsilon}_y^{(2)} + C_{13} \bar{\varepsilon}_{xy}^{(2)})] \\ N_y &= \frac{1}{8} \sum_m^{\infty} \sum_n^{\infty} A_{mn} [A_{mn} (C_{21} \bar{\varepsilon}_x^{(1)} + C_{22} \bar{\varepsilon}_y^{(1)} + C_{23} \bar{\varepsilon}_{xy}^{(1)}) + \sum_l^{\infty} \sum_j^{\infty} A_{lj} (C_{21} \bar{\varepsilon}_x^{(2)} + C_{22} \bar{\varepsilon}_y^{(2)} + C_{23} \bar{\varepsilon}_{xy}^{(2)})] \\ N_{xy} &= \frac{1}{8} \sum_m^{\infty} \sum_n^{\infty} A_{mn} [A_{mn} (C_{31} \bar{\varepsilon}_x^{(1)} + C_{32} \bar{\varepsilon}_y^{(1)} + C_{33} \bar{\varepsilon}_{xy}^{(1)}) + \\ &+ \sum_l^{\infty} \sum_j^{\infty} A_{lj} (C_{31} \bar{\varepsilon}_x^{(2)} + C_{32} \bar{\varepsilon}_y^{(2)} + C_{33} \bar{\varepsilon}_{xy}^{(2)})] + S\end{aligned}\quad (2.4)$$

$$\begin{aligned}M_x &= \sum_m^{\infty} \sum_n^{\infty} A_{mn} [(D_{11}\lambda_m^2 + D_{12}\lambda_n^2) \sin \lambda_m x \sin \lambda_n y - 2\lambda_m \lambda_n D_{13} \cos \lambda_m x \cos \lambda_n y] \\ M_y &= \sum_m^{\infty} \sum_n^{\infty} A_{mn} [(D_{21}\lambda_m^2 + D_{22}\lambda_n^2) \sin \lambda_m x \sin \lambda_n y - 2\lambda_m \lambda_n D_{23} \cos \lambda_m x \cos \lambda_n y]\end{aligned}\quad (2.5)$$

$$M_{xy} = \sum_m^{\infty} \sum_n^{\infty} A_{mn} [(D_{31}\lambda_m^2 + D_{32}\lambda_n^2) \sin \lambda_m x \sin \lambda_n y - 2\lambda_m \lambda_n D_{33} \cos \lambda_m x \cos \lambda_n y]$$

$$\bar{\varepsilon}_x^{(1)} = -\lambda_m^2 \cos 2\lambda_n y + \frac{C_{12}C_{33} - C_{13}C_{23}}{C_{11}C_{33} - C_{13}^2} \lambda_n^2 \cos 2\lambda_m x + \lambda_m^2 (r_1 - 1) \cos 2\lambda_m x \cos 2\lambda_n y - \lambda_m \lambda_n r_2 \sin 2\lambda_m x \sin 2\lambda_n y$$

$$\begin{aligned}\bar{\varepsilon}_x^{(2)} &= \lambda_m [\lambda_i + r_3 (\lambda_m - \lambda_i)] f_1 f_3 - (\lambda_m - \lambda_i) r_4 \lambda_n f_5 f_7 + \lambda_m [-\lambda_i + r_5 (\lambda_m + \lambda_i)] f_2 f_4 - \\ &- (\lambda_m + \lambda_i) r_6 \lambda_n f_6 f_8 + \lambda_m [-\lambda_i + r_7 (\lambda_m - \lambda_i)] f_1 f_4 - (\lambda_m - \lambda_i) r_8 \lambda_n f_5 f_8 + \\ &+ \lambda_m [\lambda_i + r_9 (\lambda_m + \lambda_i)] f_2 f_3 - (\lambda_m + \lambda_i) r_{10} \lambda_n f_6 f_7\end{aligned}$$

$$\begin{aligned}\bar{\varepsilon}_y^{(1)} &= -\lambda_n^2 \cos 2\lambda_m x + \frac{C_{12}C_{33} - C_{13}C_{23}}{C_{22}C_{33} - C_{23}^2} \lambda_m^2 \cos 2\lambda_n y + (r_{11} \lambda_m \lambda_n - \lambda_n^2) \cos 2\lambda_m x \cos 2\lambda_n y - \\ &- \lambda_n^2 r_{12} \sin 2\lambda_m x \sin 2\lambda_n y\end{aligned}$$

$$\begin{aligned}\bar{\varepsilon}_y^{(2)} &= [\lambda_n \lambda_j + r_{13} (\lambda_n - \lambda_j) \lambda_m] f_1 f_3 - (\lambda_n - \lambda_j) r_{14} \lambda_n f_5 f_7 + [-\lambda_n \lambda_j + r_{15} (\lambda_n + \lambda_j) \lambda_m] f_2 f_4 - \\ &- (\lambda_n + \lambda_j) r_{16} \lambda_n f_6 f_8 + [\lambda_n \lambda_j + r_{17} (\lambda_n + \lambda_j) \lambda_m] f_1 f_4 - (\lambda_n + \lambda_j) r_{18} \lambda_n f_5 f_8 + \\ &+ [-\lambda_n \lambda_j + r_{19} (\lambda_n - \lambda_j) \lambda_m] f_2 f_3 - (\lambda_n - \lambda_j) r_{20} \lambda_n f_6 f_7\end{aligned}$$

$$\bar{e}_{xy}^{(1)} = \frac{C_{22}C_{13} - C_{12}C_{23}}{C_{22}C_{33} - C_{23}^2} \lambda_m^2 \cos 2\lambda_m x + \frac{C_{11}C_{23} - C_{12}C_{13}}{C_{11}C_{33} - C_{13}^2} \lambda_n^2 \cos 2\lambda_n x + \lambda_m \lambda_n (2 - r_1 - r_{11} \frac{\lambda_m}{\lambda_n}) \sin 2\lambda_m x \sin 2\lambda_n y + (r_2 \lambda_n^2 + r_{12} \lambda_m \lambda_n) \cos 2\lambda_m x \cos 2\lambda_n y$$

$$\bar{e}_{xy}^{(2)} = [r_4 (\lambda_n - \lambda_j) + r_{14} (\lambda_m - \lambda_j)] \lambda_n f_1 f_3 - [r_3 (\lambda_n - \lambda_j) + r_{13} (\lambda_m - \lambda_j) + 2\lambda_j] \lambda_m f_5 f_7 + [r_6 (\lambda_n + \lambda_j) + r_{16} (\lambda_m + \lambda_j)] \lambda_n f_2 f_4 - [r_5 (\lambda_n + \lambda_j) + r_{15} (\lambda_m + \lambda_j) - 2\lambda_j] \lambda_m f_6 f_8 + [r_8 (\lambda_n + \lambda_j) + r_{18} (\lambda_m - \lambda_j)] \lambda_n f_1 f_4 - [r_7 (\lambda_n + \lambda_j) + r_{17} (\lambda_m - \lambda_j) + 2\lambda_j] \lambda_m f_5 f_8 + [r_{10} (\lambda_n - \lambda_j) + r_{20} (\lambda_m + \lambda_j)] \lambda_n f_2 f_3 - [r_9 (\lambda_n - \lambda_j) + r_{19} (\lambda_m + \lambda_j) - 2\lambda_j] \lambda_m f_6 f_7$$

Соотношения (2.4), (2.5), естественно, не удовлетворяют уравнению равновесия (1.2). Для построения приближенной зависимости нагрузка-прогиб воспользуемся условием стационарности полной энергии пластины. Выразим полную энергию (1.5) через соотношения (2.1), (2.2), (2.3), (2.4), (2.5):

$$\Pi = -\frac{ab}{2} \frac{C_{11}C_{22} - C_{12}^2}{c} S^2 + \frac{\pi^2}{8} \frac{a}{b} \left[ \sum_m^{\infty} \sum_n^{\infty} A_{mn}^2 (D_{11}D_{22})^{\frac{1}{2}} \bar{N}_{mn} \frac{\pi^2}{b^2} + \right. \\ \left. + \frac{32}{\pi^2} \frac{a}{b} \sum_m^{\infty} \sum_n^{\infty} A_{mn} \sum_p^{\infty} \sum_q^{\infty} A_{pq} (S - 2D_{13}\lambda_m^2) - 2D_{23}\lambda_n^2 \frac{mnpq}{(m^2 - p^2)(n^2 - q^2)} \right] + \\ + \frac{1}{128} \int_0^b \left\{ \sum_m^{\infty} \sum_n^{\infty} A_{mn} \sum_l^{\infty} \sum_j^{\infty} \bar{e}_l \right\} \cdot \left\{ \sum_m^{\infty} \sum_n^{\infty} A_{mn} \sum_l^{\infty} \sum_j^{\infty} A_{lj} \bar{N} \right\} dx dy \quad (2.6)$$

$$\bar{N}_{mn} = m^4 \alpha + 2m^2 n^2 \eta + n^4 / \alpha$$

$$\alpha = \left( \frac{D_{11}}{D_{22}} \right)^{\nu_2} \frac{b^2}{a^2}, \quad \eta = \frac{D_{12} + 2D_{33}}{(D_{11}D_{22})^{\frac{1}{2}}}$$

$$(m \pm p) = 1, 3, 5, 7, \dots, (n \pm q) = 1, 3, 5, \dots; \bar{e} = \{ \bar{e}_x, \bar{e}_y, \bar{e}_{xy} \}$$

$$\bar{N} = \{ \bar{N}_x, \bar{N}_y, \bar{N}_{xy} \} = \{ C_{11} \bar{e}_x + C_{12} \bar{e}_y + C_{13} \bar{e}_{xy}, C_{21} \bar{e}_x + C_{22} \bar{e}_y + C_{23} \bar{e}_{xy}, C_{31} \bar{e}_x + C_{32} \bar{e}_y + C_{33} \bar{e}_{xy} \}$$

Исследуем поведение функционала (2.6) вблизи точки бифуркации. Пусть  $S_k$  — критическое усилие сдвига, а действующее усилие  $S$  равно  $S = S_k + \Delta S$  ( $\Delta S \rightarrow 0$ ). В этом случае прогиб пластины будет величиной малой, следовательно, последнее слагаемое в (2.6) будет величиной второго порядка малости по сравнению с двумя другими, и этим слагаемым можно пренебречь. Минимизируем полную энергию по  $A_{mn}$ . В результате получим

$$\frac{\pi^2}{b^2} (D_{11}D_{22})^{\nu_2} \bar{N}_{mn} A_{mn} + \frac{32}{\pi^2} \frac{a}{b} \sum_p^{\infty} \sum_q^{\infty} A_{pq} [S - 2(D_{13}\lambda_m^2 + D_{23}\lambda_n^2)] \frac{mnpq}{(m^2 - p^2)(n^2 - q^2)} = 0 \quad (2.7)$$

Однородная система линейных алгебраических уравнений (2.7) является разрешающей системой для определения собственных значений и собственных функций. Система (2.7) имеет ненулевое решение, если определитель равен нулю. Обозначим через  $\{\lambda\}$  вектор собственных значений, а минимальное собственное значение через  $S_k$ :  $\min\{\lambda\} = S_k$ . Известно, что для ортотропных пластин  $S_k$  не зависит от направления действия усилия сдвига. Для анизотропных пластин величины  $S_k$  зависят от направления действия  $S$ . Изменим на фиг. 1 направление

действия усилий на противоположное. Тогда однородная система линейных алгебраических уравнений (2.7) примет вид

$$\frac{\pi^2}{b^2} (D_{11} D_{22})^{1/2} \bar{N}_{mn} A_{mn} - \frac{32}{\pi^2} \frac{a}{b} \sum_p^{\infty} \sum_q^{\infty} A_{pq} [S + 2(D_{13}\lambda_m^2 + D_{23}\lambda_n^2)] \frac{mnpq}{(m^2 - p^2)(n^2 - q^2)} = 0 \quad (2.8)$$

Чем выше значения жестокостей  $D_{13}$  и  $D_{23}$ , тем больше разница между критическими усилиями, найденными соответственно из (2.7) и (2.8).

Численные результаты получены для композитных пластин из углепластика с размерами сторон  $a = (0,4; 1,2)$  м,  $b = 0,4$  м и толщиной  $h = 10^{-3}$  м. Физико-механические характеристики материала принимались равными  $E_1 = 180$  ГПа,  $E_2 = 6,2$  ГПа,  $G_{12} = 5,0$  ГПа,  $\mu_{21} = 0,26$ ;  $\sigma_1 = (+1000,0; -400)$  МПа;  $\sigma_2 = (+33; -100)$  МПа;  $\tau_{12} = 30$  МПа. На фиг. 2 показано влияние угла армирования  $\phi$  на величины критических усилий  $S_k$ . Кривые 1, 2, 3 относятся к квадратной пластине. Кривая 1 соответствует изменению критического усилия сдвига при изменении угла  $\phi$  от 0 до  $90^\circ$ , когда волокна материала сжаты; 2 — когда волокна материала растягиваются; 3 — когда пакет пластины состоит из симметрично уложенных под углами  $\pm\phi$  слоев. Аналогичные результаты для прямоугольной пластины показаны кривыми 4, 5, 6. Из графика следует, что при угле армирования  $\phi = 45^\circ$  значение  $S_k$  для квадратной пластины, в которой волокна сжаты, пре- восходит значение  $S_k$  пластины, в которой волокна растянуты, и значение  $S_k$  пластины, состоящей из симметрично уложенных под углами  $\pm 45^\circ$  слоев, соответственно в 7,5 и 1,8 раза.

3. Рассмотрим закритическое поведение пластины. Минимальному собственному значению  $S_k$ , найденному из системы уравнений (2.7), соответствует собственный вектор  $\{A\} = \{A_{11}, A_{12}, \dots, A_{mn}, \dots\}^T$ . Найдем норму  $\|A\|_\infty$  и нормированный вектор  $(\|A\|_\infty)^{-1}\{A\} = \{q_{11}, \dots, q_{mn}, \dots\}^T$ , после чего представим вектор  $\{A\}$  в виде произведения неизвестной амплитуды прогиба  $A_0$  и нормированного вектора  $\{q\}: \{A\} = A_0 \{q_{11}, \dots, q_{mn}, \dots\}^T$ . Проведенные ранее исследования [2] показали правомерность использования собственной формы при анализе закритического поведения сжатых композитных панелей. Используем этот же подход к исследованию закритического деформирования композитных пластин при сдвиге и представим прогиб в виде

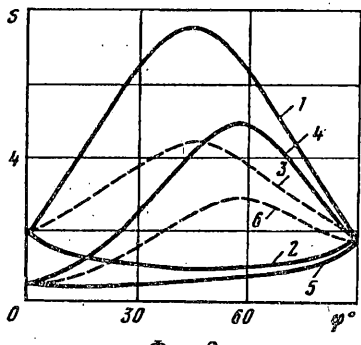
$$w = A_0 \sum_m \sum_n q_{mn} \sin \lambda_m x \sin \lambda_n y \quad (3.1)$$

т. е. аппроксимируем функцию прогиба при закритическом деформировании функцией в форме произведения амплитуды  $A_0$  и собственной формы. Преобразуем с учетом (3.1) найденные ранее зависимости (2.2)–(2.5) заменив в них суммирование по  $A_{mn}$  на суммирование по коэффициентам собственной формы  $q_{mn}$ , домноженным на неизвестную амплитуду  $A_0$ . Например, для перемещения  $u$  будем иметь следующее равенство:

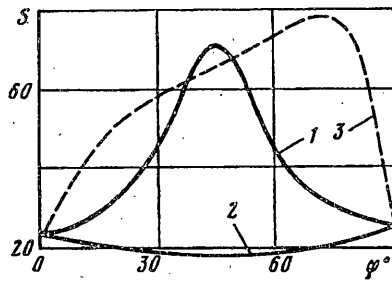
$$u = \left( -\frac{C_{13}C_{22} - C_{12}C_{23}}{C} S - \frac{A_0^2}{8} \sum_m \sum_n q_{mn}^2 \lambda_m^2 \right) x + \frac{C_{11}C_{22} - C_{12}^2}{2C} Sy + \\ + \frac{A_0^2}{16} \sum_m \sum_n q_{mn} (q_{mn} \bar{u}_1 + 2 \sum_l \sum_j q_{lj} \bar{u}_2)$$

Разрешающее уравнение задачи найдем из условия минимума полной энергии по  $A_0$ :

$$-\frac{A_0}{4} \pi^2 \frac{a}{b} (\alpha_{xy} S - N') + \frac{A_0^3}{32} \frac{\pi^4}{ab} F = 0 \quad (3.2)$$



Фиг. 2



Фиг. 3

$$\alpha_{xy} = -\frac{32}{\pi^2} \frac{a}{b} \sum_m \sum_n q_{mn} \sum_p \sum_q q_{pq} \frac{mnpq}{(m^2 - p^2)(n^2 - q^2)}$$

$$N^* = \frac{\pi^2}{b^2} (D_{11} D_{22})^{1/2} \sum_m \sum_n q_{mn}^2 \bar{N}_{mn} - \frac{64}{\pi^2} \frac{a}{b} \sum_m \sum_n q_{mn} (D_{13} \lambda_m^2 +$$

$$+ D_{23} \lambda_n^2) \sum_p \sum_q q_{pq} \frac{mnpq}{(m^2 - p^2)(n^2 - q^2)}$$

$$F = \frac{ab}{\pi^4} \int_0^a \int_0^b \left\{ \sum_m \sum_n q_{mn} \sum_l \sum_j q_{lj} \bar{e} \right\} \left\{ \sum_m \sum_n q_{mn} \sum_l \sum_j q_{lj} \bar{N} \right\} dx dy$$

Уравнение (3.2) имеет три корня, один из которых ( $A_0 = 0$ ) соответствует плоской форме равновесия пластины, а два других корня  $A_0 = \pm 2 \frac{b}{\pi} \left[ \frac{2(\alpha_{xy} S - N^*)}{F} \right]^{1/2}$  соответствуют изгибной форме равновесия пластины при сдвиге. При  $S < S_k$  платаина может иметь только плоскую форму равновесия, поскольку два последних корня мнимые. При  $S > S_k$  пластина наряду с плоской формой равновесия обладает изгибной формой равновесия. В точке бифуркации справедливо равенство  $S = S_k$  или  $S = N^*/\alpha_{xy}$ .

Определив амплитуду  $A_0 = f(S)$  из (3.2), далее можно найти деформации пластины, деформации  $e_1, e_2, e_{12}$  и напряжения  $\sigma_1, \sigma_2, \tau_{12}$  и определить эквивалентные напряжения (1.6). Равенство  $\sigma_e = 1$  дает возможность вычисления предельного усилия сдвига  $S$ , при котором произойдет разрушение наиболее нагруженного слоя.

Исследование несущей способности квадратной пластины отражено на фиг. 3. Кривая 1 относится к пластине, в которой волокна композита скаты; 2 — к пластине, в которой волокна растягиваются; 3 — к пластине, пакет которой состоит из симметрично уложенных слоев с углами армирования  $\pm\phi$ . Как видно из фиг. 3, при закритическом деформировании анизотропных пластин важным является направление сдвига. В тех случаях, когда при сдвиге волокна скаты, несущая способность пластин выше несущей способности пластин с растягивающими волокнами более чем в 3,5 раза.

#### СПИСОК ЛИТЕРАТУРЫ

1. Васильев В. В. Механика конструкций из композиционных материалов. М.: Машиностроение, 1988. 270 с.
2. Азиков Н. С., Васильев В. В. Устойчивость и закритическое поведение скатых композитных панелей // Изв. АН СССР. МТТ. 1986. № 5. С. 152—158.